

디지털 컨텐츠 보호를 위한 ECC 용 곱셈기 구현방법 (ECC Multiplier over Galois Field for Digital Contents Protection)

김형중

강원대학교 제어계측공학과

Hyoung Joong Kim
Kangwon National University
khj@cc.kangwon.ac.kr

요약

디지털 컨텐츠의 정보보호는 근래 매우 중요한 기술로 등장했다. 애써 만든 디지털 컨텐츠가 무차별적으로 복제되어 배포되면 컨텐츠 제공자에게는 커다란 경제적 손실을 입히기 때문에 이를 보호하려는 기술이 개발되고 있다. 특별히 DVD 나 MP3, AAC 등 네트워크 환경에서 고급 품질의 영상이 품질의 손상 없이 복제되어 네트워크를 통해 클릭 한 번으로 배포될 수 있기 때문에 이에 대한 대처가 시급한 실정이다. 따라서, 이에 대한 해결책으로 타원곡선 암호시스템을 사용하는 상황에서 필요한 간신가능 구조를 고려한 Massey-Omura 곱셈기를 제안한다.

1. 서론

디지털 컨텐츠의 정보보호는 근래 매우 중요한 기술로 등장했다. 애써 만든 디지털 컨텐츠가 무차별적으로 복제되어 배포되면 컨텐츠 제공자에게는 커다란 경제적 손실을 입히기 때문에 이를 보호하려는 기술이 개발되고 있다. 특별히 DVD 나 MP3, AAC 등 네트워크 환경에서 고급 품질의 영상이 품질의 손상 없이 복제되어 네트워크를 통해 클릭 한 번으로 배포될 수 있기 때문에 이에 대한 대처가 시급한 실정이다. 그런데 멀티미디어 환경에서는 고도로 정교한 암호알고리듬을 사용해서 어떠한 공격에도 견디도록 하는 방법은 사용하기 곤란하다. 그런 방법은 사용자에게 복잡한 절차를 요구할 수 있기 때문이다. 멀티미디어 사용자는 그저 수동적으로 컨텐츠를 이용할 뿐이므로 복잡한 절차를 요구하는 것을 싫어하게 된다. 그래서 암호 알고리듬도 성능 완화가 불가피하다. 그 결과 암호 알고리듬이 공격에 취약해질 가능성이 있다. 물론, 고도로 복잡한 알고리듬일지라도 공격에 강하다는 보장도 없다. 따라서 암호 알고리듬은 언제라도 공격받아 깨질 수 있다는 전제가 있어야 한다. 그러므로 이런 환경에서 사용할 암호 알고리듬은 간신가능 (Renewable) 특성을 지녀야 한다. 즉 암호 알고리듬이나 키가 노출되면 즉시 간신해서 새 것으로 대치해

야 한다. 그러기 위해서는 회로도 이런 환경에 적합하도록 설계되어야 한다.

갈로와 필드 (Galois Field)는 정보통신분야에서 널리 사용되고 있다. 특별히 갈로와 필드에서의 연산은 ECC (Elliptic Curve Cryptosystem) 같은 암호이론이나 BCH 및 Reed-Solomon 코드 같은 코딩이론에서 매우 중요한 도구로 쓰이고 있다 [1,2,4,7]. 이를 응용에서는 덧셈, 곱셈, 나눗셈이 주로 이용된다. 그런데 이런 연산은 주로 표준기지 (Standard Basis) 표현에 의해 구현했다. 그렇지만, Massey-Omura 알고리듬 [6]이 소개되면서 정규기지 (Normal Basis) 표현도 각광을 받게 되었다. 정규기지에서는 계곱의 계산이 단순히 이진 표현의 순환이동 (Cyclic Shift) 만으로 구현될 수 있다는 장점이 있다.

지금까지 표준기지에서는 생성다항식 (Generating Polynomial)로 트리노미얼 (Trinomial), 즉 $X^m + X^k + 1$ 이 주로 쓰였다. 그러나, 근래 AOP (All-One-Polynomial), 즉 모든 계수의 값이 1인 $X^m + X^{m-1} + \dots + X + 1$ 도 유용하게 쓰이고 있다. 그런데 AOP는 ESP (Equally Spaced Polynomial)의 특수한 형태로, AOP나 ESP 모두 중요한 성질을 지니고 있다. 그래서, 이 둘의 성질도 소개하기로 한다. AOP는 ONB (Optimal Normal Basis) 표현에서 중요한 역할을 담당한다.

이 논문에서는 곱셈기의 형태와 기본 개념을 소개하는데 주안점을 두고 있다. 현재 널리 쓰이고 있는 것들 가운데 Mastrovito 곱셈기 [5], Massey-Omura 곱셈기 [6], Itoh-Tsujii 곱셈기 [3]를 소개한다. 곱셈기의 연산성능은 기지 및 생성다항식의 선택에 따라 달라질 수 있다.

이 논문은 현재까지 이루어진 수학적 결과를 비교해서 정리한 것으로, 각 곱셈기의 수학적 배경과 VLIS로 설계할 때 얻을 수 있는 장점들에 초점을 맞추었다. 아울러 병렬계산을 통해 성능을 개선하고, Reconfigurable Mesh 구조를 채택해서 고속 구현이 가능함을 보인다.

2. 표준기지에서의 곱셈개념

$GF(2^m)$ 위의 m 개의 선형독립인 원소들의 집합을 $GF(2^m)$ 의 기지 (Basis)라 한다. ω 를 차수 m 인 원시다항식 (Primitive Polynomial) $P(X)$ 의 근이라고 할 때

$$\{1, \omega, \omega^2, \omega^3, \dots, \omega^{m-1}\}$$

은 $GF(2^m)$ 의 기지라 하며, 특별히 이 기지를 $GF(2^m)$ 위의 표준기지라고 한다. 일반적으로 표준기지에서 곱셈을 어떻게 구현하는지 예 1 을 살펴보자.

예 1. $GF(2^5)$ 상의 임의의 두 원소 A 와 B 의 곱셈 $C = AB$ 를 표준기지로 계산하는 방법을 살펴보자. 두 수 A 와 B 는 아래와 같다.

$$\begin{aligned} A &= a_0\omega^0 + a_1\omega^1 + a_2\omega^2 + a_3\omega^3 + a_4\omega^4 \\ B &= b_0\omega^0 + b_1\omega^1 + b_2\omega^2 + b_3\omega^3 + b_4\omega^4 \end{aligned}$$

두 수의 곱 $C = AB$ 는 다음과 같이 쓸 수 있다.

$$C = AB = A \sum_{k=0}^4 b_k \omega^k = \sum_{k=0}^4 b_k (A\omega^k) \quad (1)$$

가 된다. 식 (1)을 행렬식으로 표현하면 아래와 같이 된다.

$$\begin{bmatrix} c_0 & c_1 & c_2 & c_3 & c_4 \end{bmatrix} = \begin{bmatrix} b_0 & b_1 & b_2 & b_3 & b_4 \end{bmatrix} \begin{bmatrix} A\omega^0 \\ A\omega^1 \\ A\omega^2 \\ A\omega^3 \\ A\omega^4 \end{bmatrix} \quad (2)$$

만일 원시다항식이 $P(X) = X^5 + X^2 + 1$ 이라면, $A\omega^i$ 은 아래와 같이 계산된다.

$$\begin{aligned} A\omega^0 &= a_0\omega^0 + a_1\omega^1 + a_2\omega^2 + a_3\omega^3 + a_4\omega^4 \\ A\omega^1 &= a_0\omega^1 + a_1\omega^2 + a_2\omega^3 + a_3\omega^4 + a_4\omega^5 \\ &= a_0\omega^1 + a_1\omega^2 + a_2\omega^3 + a_3\omega^4 + a_4(1+\omega^2) \\ &= a_4\omega^0 + a_0\omega^1 + (a_1 + a_4)\omega^2 + a_2\omega^3 + a_3\omega^4 \\ A\omega^2 &= a_3\omega^0 + a_4\omega^1 + (a_0 + a_3)\omega^2 + (a_1 + a_4)\omega^3 \\ &\quad + a_2\omega^4 \\ A\omega^3 &= a_2\omega^0 + a_3\omega^1 + (a_2 + a_4)\omega^2 + (a_0 + a_3)\omega^3 \\ &\quad + (a_1 + a_4)\omega^4 \\ A\omega^4 &= (a_1 + a_4)\omega^0 + a_2\omega^1 + (a_1 + a_3 + a_4)\omega^2 \\ &\quad + (a_2 + a_4)\omega^3 + (a_0 + a_3)\omega^4 \end{aligned}$$

따라서, 위의 결과를 식 (1) 또는 식 (2)에 대입하여 축약 (Reduction)하면 아래와 같이 된다.

$$\begin{aligned} c_0 &= a_0b_0 + a_4b_1 + a_3b_2 + a_2b_3 + (a_1 + a_4)b_4 \\ c_1 &= a_1b_0 + a_0b_1 + a_4b_2 + a_3b_3 + a_2b_4 \\ c_2 &= a_2b_0 + (a_1 + a_4)b_1 + (a_0 + a_3)b_2 + (a_2 + a_4)b_3 \\ &\quad + (a_1 + a_3 + a_4)b_4 \\ c_3 &= a_3b_0 + a_2b_1 + (a_1 + a_4)b_2 + (a_0 + a_3)b_3 \\ &\quad + (a_2 + a_4)b_4 \\ c_4 &= a_4b_0 + a_3b_1 + a_2b_2 + (a_1 + a_4)b_3 + (a_0 + a_3)b_4 \end{aligned}$$

이상에서 볼 수 있듯이 곱셈은 매우 복잡하게 이루어진다. 만일 $A = \omega^{15}$, $B = \omega^{20}$ 일 때 위의 식을 이용할 수도 있고, 아래와 같이 계산할 수도 있다.

$$\begin{aligned} C = AB &= \omega^{15}\omega^{20} \\ &= (1 + \omega + \omega^2 + \omega^3 + \omega^4)(\omega^2 + \omega^3) \\ &= (\omega^2 + \omega^3 + \omega^4 + \omega^5 + \omega^6) \\ &\quad + (\omega^3 + \omega^4 + \omega^5 + \omega^6 + \omega^7) \\ &= \omega^2 + \omega^7 \\ &= \omega^2 + (\omega^2 + \omega^4) \\ &= \omega^4 \end{aligned}$$

◆

3. Mastrovito 곱셈기의 개념

두 수 A 와 B 를 벡터 형식으로 표현하면

$$A = \sum_{i=0}^{m-1} a_i \omega^i = [a_0 a_1 \cdots a_{m-1}]$$

와

$$B = \sum_{i=0}^{m-1} b_i \omega^i = [b_0 b_1 \cdots b_{m-1}]$$

의 곱을 C 라 하면 그 결과는 다음

$$C = \sum_{i=0}^{m-1} \sum_{j=0}^{m-1} a_i b_j \omega^i \omega^j$$

가 된다. 그런데, 곱셈 도중 기저에 포함되지 않는 수들이 나타나므로 그런 수들을 기저의 선형 결합으로 표시하기 위해 Q 라는 기저축약행렬 (Basis Reduction Matrix)을 다음과 같이 정의한다.

$$\begin{bmatrix} \omega^m \\ \omega^{m+1} \\ \vdots \\ \omega^{2m-2} \end{bmatrix} = Q \begin{bmatrix} \omega^0 \\ \omega^1 \\ \vdots \\ \omega^{m-1} \end{bmatrix}$$

Mastrovito 곱셈기에서 $m \times m$ 곱셈행렬 Z 는 A 와 Q 의 함수로

$$z_{ij} = \begin{cases} a_i & j = 0; \\ u(i-j)a_{i-j} & i = 0, \dots, m-1 \\ + \sum_{t=0}^{j-1} q_{j-1-t,i} a_{m-1-t} & j \neq 0; \\ & i = 0, \dots, m-1 \end{cases} \quad (3)$$

과 같이 정의되며, 스텝함수 $u(k)$ 는

$$u(k) = \begin{cases} 1 & k \geq 0 \\ 0 & k < 0 \end{cases}$$

가 된다. $C = AB$ 를 Mastrovito 곱셈기는 $GF(2)$ 에서 $C = ZB$ 의 곱셈으로 구현한다.

예 2. 예 1의 곱셈을 식 (3)을 이용해서 다시 정리하라.

$P(X) = X^5 + X^2 + 1$ 을 이용해서 4×5 기저축약행렬 Q 를

$$\begin{bmatrix} \omega^5 \\ \omega^6 \\ \omega^7 \\ \omega^8 \end{bmatrix} = \begin{bmatrix} 1 & 0 & 1 & 0 & 0 \\ 0 & 1 & 0 & 1 & 0 \\ 0 & 0 & 1 & 0 & 1 \\ 1 & 0 & 1 & 1 & 0 \end{bmatrix} \begin{bmatrix} \omega^0 \\ \omega^1 \\ \omega^2 \\ \omega^3 \\ \omega^4 \end{bmatrix}$$

와 같이 정의할 수 있다. 식 (3)을 이용해서 곱셈행렬 Z 는

$$Z = \begin{bmatrix} a_0 & a_4 & a_3 & a_2 & a_1 + a_4 \\ a_1 & a_0 & a_4 & a_3 & a_2 \\ a_2 & a_1 + a_4 & a_0 + a_3 & a_2 + a_4 & a_1 + a_3 + a_4 \\ a_3 & a_2 & a_1 + a_4 & a_0 + a_3 & a_2 + a_4 \\ a_4 & a_3 & a_2 & a_1 + a_4 & a_0 + a_3 \end{bmatrix}$$

와 같다. \diamond

예 1과 2에서는 트리노미얼 가운데 하나인 $P(X) = X^5 + X^2 + 1$ 을 사용했는데 이제는 널리 쓰이는 AOP 와 ESP 를 소개하기로 한다.

정의 1. $P(X) = X^m + X^r + \cdots + X^{2r} + X^r + 1$, $m = (t+1)r$ 를 차수 m 인 r -ESP 라고 부른다. 1-ESP 를 AOP 라고 부른다.

AOP $P(X) = X^m + \cdots + X^2 + X + 1$ 에서 $m+1$ 이 소수이고, 동시에 2 가 Z_{m+1} 위에서 생성자 (Generator)이면 그 AOP 는 $GF(2)$ 에서 기약 다항식 (irreducible Polynomial)이며, 따라서 필드 $GF(2^m)$ 을 생성할 수 있다. 현재 인수 분해가 불가능한 기약다항식인 m 으로 알려진 값은 2, 4, 10, 12, 18, 28, 36, 52, 58, 등이 있다. AOP 를 이용해서 곱셈을 구현할 경우

$$Z = \begin{bmatrix} \omega^m & 1 & 1 & \cdots & 1 & 1 \\ \omega^{m+1} & 0 & 1 & 0 & \cdots & 0 & 0 \\ \omega^{m+2} & 0 & 0 & 1 & \cdots & 0 & 0 \\ \vdots & \vdots & \vdots & \vdots & \ddots & \vdots & \vdots \\ \omega^{2m-2} & 0 & 0 & 0 & \cdots & 1 & 0 \end{bmatrix} \begin{bmatrix} \omega^0 \\ \omega^1 \\ \omega^2 \\ \vdots \\ \omega^{m-1} \end{bmatrix}$$

$$Z = \begin{bmatrix} a_0 & a_{m-1} & a_{m-1} + a_{m-2} & \cdots & a_2 + a_1 \\ a_1 & a_0 + a_{m-1} & a_{m-2} & \cdots & a_3 + a_1 \\ a_2 & a_1 + a_{m-1} & a_0 + a_{m-2} & \cdots & a_4 + a_1 \\ \vdots & \vdots & \vdots & \ddots & \vdots \\ a_{m-1} & a_{m-2} + a_{m-1} & a_{m-3} + a_{m-2} & \cdots & a_0 + a_1 \end{bmatrix}$$

과 같이 된다. 그런데 이때의 Z 가 특별한 형태를 지니고 있어 $Z = Z_1 + Z_2$ 로

$$Z_1 = \begin{bmatrix} a_0 & 0 & a_{m-1} & \cdots & a_2 \\ a_1 & a_0 & 0 & \cdots & a_3 \\ a_2 & a_1 & a_0 & \cdots & a_4 \\ \vdots & \vdots & \vdots & \ddots & \vdots \\ a_{m-1} & a_{m-2} & a_{m-3} & \cdots & a_0 \end{bmatrix},$$

$$Z_2 = \begin{bmatrix} 0 & a_{m-1} & a_{m-2} & \cdots & a_1 \\ 0 & a_{m-1} & a_{m-2} & \cdots & a_1 \\ 0 & a_{m-1} & a_{m-2} & \cdots & a_1 \\ \vdots & \vdots & \vdots & \ddots & \vdots \\ 0 & a_{m-1} & a_{m-2} & \cdots & a_1 \end{bmatrix}$$

$$\begin{aligned}\omega^{10} &= 1 + X + X^2 \\ \omega^{11} &= 1 + X^3 \\ \omega^{12} &= X^3 \\ \omega^{13} &= 1 + X + X^3 \\ \omega^{14} &= X + X^2 + X^3\end{aligned}$$

◇

분해가 가능하다. 이런 분해가 곱셈기 성능향상에 도움이 될 수 있다.

3. Itoh-Tsujii 곱셈기

한편, AOP 인 $P(X) = X^4 + X^3 + X^2 + X + 1$ 에 대해 $P(X)$ 의 근인 $\omega = X$ 의 역승으로는 ω^0 부터 ω^{14} 까지 15 개의 원소를 생성할 수 없다. 그 이유는 $P(X)$ 가 기약다항식이라는 하지만 원시다항식은 아니기 때문이다. $P(X)$ 의 근인 $\omega = X$ 의 역승으로 생성할 수 있는 수는

$$\begin{aligned}\omega^0 &= 1 \\ \omega^1 &= X \\ \omega^2 &= X^2 \\ \omega^3 &= X^3 \\ \omega^4 &= 1 + X + X^2 + X^3 \\ \omega^5 &= 1 \\ \omega^6 &= X\end{aligned}$$

와 같이 ω^0 부터 ω^4 까지 5 개에 불과하다. 이 점은 이미 예제 2에서도 언급한 바 있다. 그런데, 덧셈에서 한 가지 문제가 더 발생한다. 예를 들어 $\omega^0 + \omega^1 = 1 + X$ 가 되는데 $X + 1$ 이라는 원소가 $\{1, X, X^2, X^3, X^3 + X^2 + X + 1\}$ 에는 존재하지 않는다. 다시 말해, 덧셈이 정의되지 않는다.

예제 3: 다항식 $P(X) = X^4 + X^3 + X^2 + X + 1$ 에 대해 $\omega = X + 1$ 를 이용해서 ω^0 부터 ω^{14} 까지 15 개의 원소를 생성하라.

$$\begin{aligned}\omega^0 &= 1 \\ \omega^1 &= 1 + X \\ \omega^2 &= 1 + X^2 \\ \omega^3 &= 1 + X + X^2 + X^3 \\ \omega^4 &= X \\ \omega^5 &= X + X^2 \\ \omega^6 &= X + X^3 \\ \omega^7 &= 1 + X^2 + X^3 \\ \omega^8 &= X^2 \\ \omega^9 &= X^2 + X^3\end{aligned}$$

예제 3에서 본 $X^4 + X^3 + X^2 + X + 1$ 는 모든 다항식 항의 계수가 1 이기 때문에 AOP (All-One-Polynomial)이라고 부른다. 정의 1에서 보듯 AOP 는 ESP (Equally Spaced Polynomial)의 특수한 형태가 된다.

Itoh-Tsujii 의 곱셈기는 A 와 B 에 대해

$$\begin{aligned}A &= a_0\omega^0 + a_1\omega^1 + a_2\omega^2 + \cdots + a_m\omega^m \\ B &= b_0\omega^0 + b_1\omega^1 + b_2\omega^2 + \cdots + b_m\omega^m\end{aligned}$$

곱 $C = AB$ 를

$$C = c_0\omega^0 + c_1\omega^1 + c_2\omega^2 + \cdots + c_m\omega^m$$

로 표시할 때 C 의 계수 c_k 는 다음 식과 같이 계산한다.

$$c_k = \sum_{i+j=k \pmod{m+1}} a_i b_j \pmod{2} \quad (0 \leq k \leq m)$$

Itoh-Tsujii 의 곱셈기는 $P(X)$ 가 AOP 인 경우를 전제로 한 것이다. 이 식이 의미하는 바를 예제 4에서 살펴보기로 한다.

예제 4: 예제 3에서 $\omega = X + 1$ 로 ω^0 부터 ω^{14} 까지 만든 15 개의 원소 가운데 $\omega^1 \cdot \omega^2$ 을 계산하기로 하자. $\omega^1 = 1 + X$, $\omega^2 = 1 + X^2$ 이므로

$$\begin{aligned}(a_0, a_1, a_2, a_3) &= (1, 1, 0, 0), \\ (b_0, b_1, b_2, b_3) &= (1, 0, 1, 0)\end{aligned}$$

이다. 따라서

$$\begin{aligned}c_0 &= a_0 b_0 + a_1 b_3 + a_2 b_2 + a_3 b_1 = 1 + 0 + 0 = 1, \\ c_1 &= a_0 b_1 + a_1 b_0 + a_3 b_3 = 0 + 1 + 0 = 1, \\ c_2 &= a_0 b_2 + a_2 b_0 + a_1 b_1 = 1 + 0 + 0 = 1, \\ c_3 &= a_0 b_3 + a_1 b_2 + a_2 b_1 + a_3 b_0 = 0 + 1 + 0 + 0 = 1\end{aligned}$$

이므로 $\omega^1 \cdot \omega^2 = 1 + X + X^2 + X^3 = \omega^3$ 이 된다.

◇

4. Massey-Omura 곱셈기

$GF(2^m)$ 상의 임의의 두 원소 A 와 B 의 곱셈 $C = AB$ 를 정규기저로 계산하는 방법을 살펴보자. 두 원소 A 와 B 를 수식으로 나타내면 아래와 같다.

$$A = a_0\omega^0 + a_1\omega^1 + a_2\omega^2 + \cdots + a_{m-1}\omega^{2^{m-1}}$$

$$B = b_0\omega^0 + b_1\omega^1 + b_2\omega^2 + \cdots + b_{m-1}\omega^{2^{m-1}}$$

$A = [a_0 \ a_1 \ a_2 \ \cdots \ a_{m-1}]$, $W = [\omega \ \omega^2 \ \cdots \ \omega^{2^{m-1}}]$ 으로 표현할 때 두 원소의 곱은 다음과 같이 쓸 수 있다.

$$C = AB = (AW^T)(BW^T)^T = AMB^T$$

가 되고, 곱셈행렬 M 은 다음과 같이 정의된다.

$$M = W^T W = \begin{bmatrix} \omega^{2^0+2^0} & \omega^{2^0+2^1} & \cdots & \omega^{2^0+2^{m-1}} \\ \omega^{2^1+2^0} & \omega^{2^1+2^1} & \cdots & \omega^{2^1+2^{m-1}} \\ \vdots & \vdots & \ddots & \vdots \\ \omega^{2^{m-1}+2^0} & \omega^{2^{m-1}+2^1} & \cdots & \omega^{2^{m-1}+2^{m-1}} \end{bmatrix}$$

그런데 M 은 아래와 같이 다시 표현할 수 있다.

$$M = M_0\omega + M_1\omega^2 + \cdots + M_{m-1}\omega^{2^{m-1}}$$

여기서 행렬 M_k ($0 \leq k \leq m-1$)의 원소는 $GF(2)$ 에 속한다. M_k 에서 $0, 1, \dots, m-1$ 로 각 행과 열을 번호로 표시할 수 있다. 그렇게 하면 M_k 의 열 i 와 행 j 는 $\omega^{2^i+2^j}$ 를 정규기저로 표현했을 때 ω^{2^k} 의 계수로 표시된다. 따라서 곱셈의 결과는

$$c_{m-1-k} = AM_{m-1-k}B^T, \quad (4)$$

$$= A^{(k)}M_{m-1}B^{(k)T}, \quad k = 0, 1, \dots, m-1 \quad (5)$$

로 표현할 수 있다. 여기서 $A^{(k)}$ 는 A 를 오른쪽으로 k 번 돌린 것을 의미한다. 이것이 Massey-Omura 곱셈기의 기본 원리이다. 이 곱셈기는 병렬계산이 가능하며, Reconfigurable Mesh 구현이 용이하다는 장점을 지니고 있다.

예제 5: AOP $p(X) = X^4 + X^3 + X^2 + X + 1$ 에 대해 곱셈행렬 M 를 구성하는 방법을 조사해보자.

M 의 정의에 의해

$$M = \begin{bmatrix} \omega^2 & \omega^3 & \omega^5 & \omega^9 \\ \omega^3 & \omega^4 & \omega^6 & \omega^{10} \\ \omega^5 & \omega^6 & \omega^8 & \omega^{12} \\ \omega^9 & \omega^{10} & \omega^{12} & \omega^{16} \end{bmatrix}$$

가 된다. 그런데 여기서 주어진 기약다항식 AOP $p(X) = X^4 + X^3 + X^2 + X + 1$ 의 성질에 따라

$$\begin{aligned} X^4 &= X^3 + X^2 + X + 1 \\ X^5 &= X^4 + X^3 + X^2 + X = 1 \\ X^6 &= X \\ X^7 &= X^2 \\ X^8 &= X^3 \\ X^9 &= X^4 \end{aligned}$$

인 점을 이용하면 M 은 다음과 같이 표현된다.

$$M = \begin{bmatrix} \omega^2 & \omega^3 & 1 & \omega^4 \\ \omega^3 & \omega^4 & \omega & 1 \\ 1 & \omega & \omega^3 & \omega^2 \\ \omega^4 & 1 & \omega^2 & \omega \end{bmatrix}$$

위의 M 은 정규기저로 표현되지 않았기 때문에 $\omega^3 = \omega^8$, $1 = \omega + \omega^2 + \omega^4 + \omega^8$ 으로 치환해서 모든 원소를 정규기저로 다시 정리하고 정리하면 다음과 같은 행렬을 구할 수 있다.

$$M_{m-1} = M_3 = \begin{bmatrix} 0 & 1 & 1 & 0 \\ 1 & 0 & 0 & 1 \\ 1 & 0 & 1 & 0 \\ 0 & 1 & 0 & 0 \end{bmatrix}$$

5. Reconfigurable Mesh 곱셈기

식 (4)를 보면 입력 A 와 B 는 변하지 않고 M_k 만 변화시키면서 곱셈이 가능하다. 다시 말해

$$c_k = AM_kB^T$$

가 되므로, c_k 는 M_k 만 있으면 바로 계산이 병렬로 이루어질 수 있다. 일반적으로 식 (5)처럼 하나의 M_k 에 대해 A 와 B 를 회전시키면서 곱셈하는 것이 관례였다. 그러나, 이 논문에서는 M_k 를 각각 구현함으로써 병렬계산의 효과를 최대한 활용할 수 있음을 보인다. 그런데, 이럴 경우 VLSI로 구현하면 곱셈기를 무려 k 개나 확보해야 하는 부담이 생긴다. 물론, 그런 상황이 발생한다면 실용적 가치가 전혀 없게 된다.

따라서, 곱셈기는 하나가 있지만 그 곱셈기가 상황에 따라 구조를 바꾸는 Reconfigurable Mesh의 성질을 활용해서 하드웨어의 구조는 단순화시키고, 계산성능을 향상시키자는 것이다. Systolic Array가 하드웨어의 규칙성 (Regularity) 측면을 강조하고, 입력이 연속적으로 공급되는 구조를 고려했다면, 이 방식에서는 입력이 연속적으로 공급되면서 하드웨어 구조를 예제 6처럼 가변적으로 변화시키면서 성능을 향상시키자는 것이다.

예제 6: 예제 5에 대해 4 개의 M_k 를 구성해보자.

$$M_0 = \begin{bmatrix} 0 & 0 & 1 & 0 \\ 0 & 0 & 1 & 1 \\ 1 & 1 & 0 & 0 \\ 0 & 1 & 0 & 1 \end{bmatrix} \quad M_1 = \begin{bmatrix} 1 & 0 & 1 & 0 \\ 0 & 0 & 0 & 1 \\ 1 & 0 & 0 & 1 \\ 0 & 1 & 1 & 0 \end{bmatrix}$$

$$M_2 = \begin{bmatrix} 0 & 0 & 1 & 1 \\ 0 & 1 & 0 & 1 \\ 1 & 0 & 0 & 0 \\ 1 & 1 & 0 & 0 \end{bmatrix} \quad M_3 = \begin{bmatrix} 0 & 1 & 1 & 0 \\ 1 & 0 & 0 & 1 \\ 1 & 0 & 1 & 0 \\ 0 & 1 & 0 & 0 \end{bmatrix}$$

◇

식 (5)를 바탕으로 회로를 구성한 것이 바로 Massey-Omura 곱셈기로 그 모양이 그림 1과 같다.

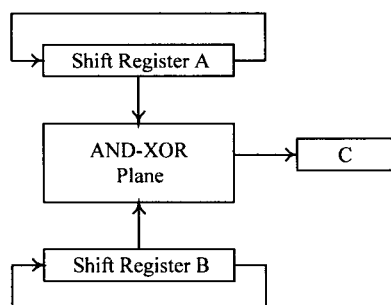


그림 1. Massey-Omura 곱셈기

Massey-Omura 곱셈기는 기저를 하나 (정규기지) 사용한다는 장점이 있다. 또 AOP를 사용하면 타입 I 최적정규기지가 되면서 회로가 간단해진다는 장점이 있다. 그러나, 다행식이 달라지면 회로를 다시 설계해야 하는 단점이 있다. 다시 말해 개선가능 회로가 되지 못한다. 그래서 식 (5) 대신 식 (4)를 사용하자는 것이다.

그림 2가 식 (4)를 기반으로 설계하는 회로 전체의 개념을 보여주고 있다. 예제 6을 보면 행렬에 규칙성이 존재한다. 물론, 그 규칙성 때문에 식 (5)가 가능하다. 따라서 회로를 그림 2처럼 Reconfigurable Mesh로 대치하고, 행렬의 규칙성에 따라 회로를 변경시킬 때 된다.

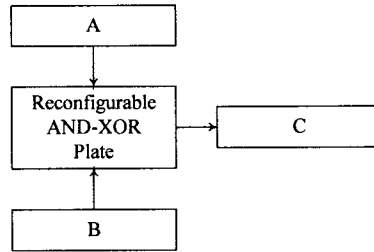


그림 2. Massey-Omura 곱셈기의 변형

6. 결론

개선가능한 암호 알고리듬 회로를 VLSI로 설계할 수 있음을 보였다. Reconfigurable Mesh가 여기에 적합하며 기본 골격은 Massey-Omura 회로를 이용하면 됨을 보였다. 개선가능 알고리듬의 중요성에 비추어 볼 때 이 분야의 연구활성화가 기대된다.

후기

이 연구는 한국과학재단 특정연구과제 97-01-01-02-01-3 연구비 지원에 의해 이루어졌다.

참고문헌

- [1]. E. R. Berlekamp, "Bit-serial Reed-Solomon encoder," *IEEE Transaction on Information Theory*, vol. 28, pp. 869-874, 1982.
- [2]. M. A. Hasan, V. K. Bhargava, and T. Le-Ngoc, "Algorithms and architectures for the design of a VLSI Reed-Solomon codec," *Reed-Solomon Codes and Their Applications*, ed. S. B. Wicker and V. K. Bhargava, IEEE Press, pp. 60-107, 1994.
- [3]. T. Itoh, and S. Tsujii, "Structure of parallel multipliers for a class of fields $GF(2^m)$," *Information and Computations*, vol. 83, pp. 21-40, 1989.
- [4]. A. Menezes, *Elliptic Curve Public Key Cryptosystems*, Kluwer Academic Publishers, 1993.
- [5]. E. Mastrovito, VLSI architectures for computation in Galois fields," Ph.D. Dissertation, Dept. Electrical Engineering, Linkoping University, Sweden, 1991.
- [6]. J. Omura, and J. Massey, "Computational method and apparatus for finite field arithmetic," U.S. Patent No. 4,587,627, 1986.
- [7]. I. S. Reed, and G. Solomon, "Polynomial codes over certain finite fields," *Journal of the ACM*, vol. 8, pp. 300-304, 1960.